ジャーナルクラブ

2023.7.10

Article Open Access Published: 01 April 2021

Loss of microglial SIRPα promotes synaptic pruning in preclinical models of neurodegeneration

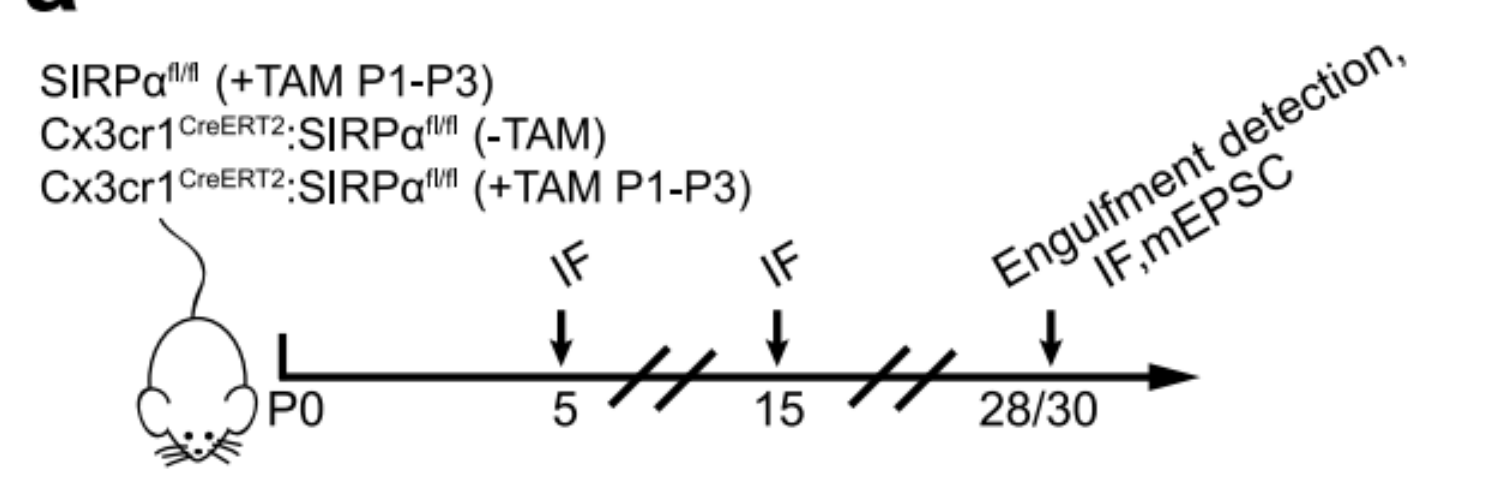
Xin Ding, Jin Wang, Miaoxin Huang, Zhangpeng Chen, Jing Liu, Qipeng Zhang, Chenyu Zhang, Yang

Nature Communications 12, Article number: 2030 (2021) Cite this article

Abstract

- 疾患においてシナプス刈り込みにおけるミクログリアのSIRP α の役割は不明。
- コンディショナルノックアウトマウスを用いて、ミクログリア特異的に SIRP α を欠失させるとシナプス密度が低下した。
- ヒト組織ではアルツハイマー病の進行とともにSIRPαの発現が低下する。
- アルツハイマー病モデルマウスでSIRPαを欠損させると、ミクログリアの 貪食によりシナプス損失が増加、また認知機能障害が増加した。
- \rightarrow ミクログリアのSIRP α が神経変性におけるシナプス刈り込みを制御している。

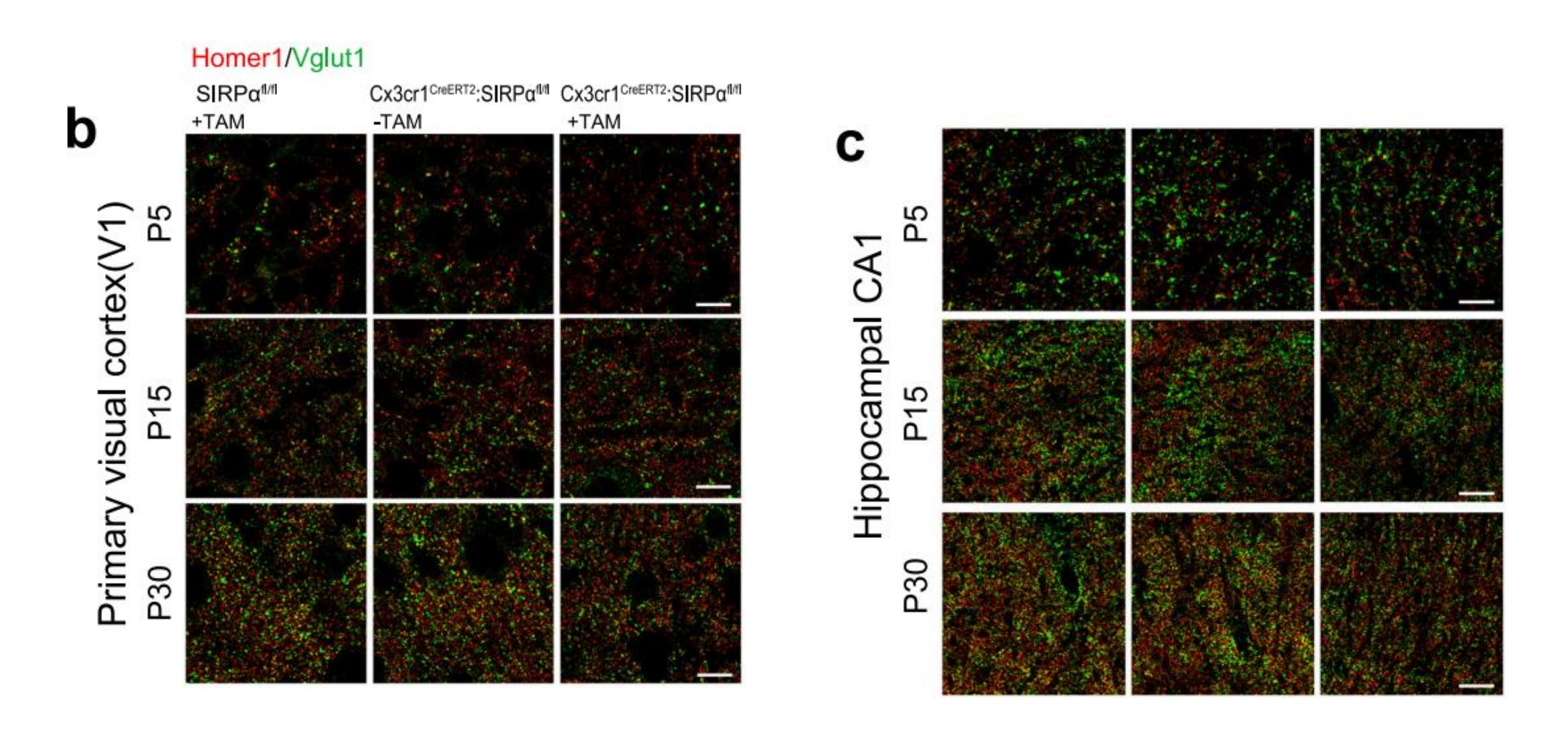
a



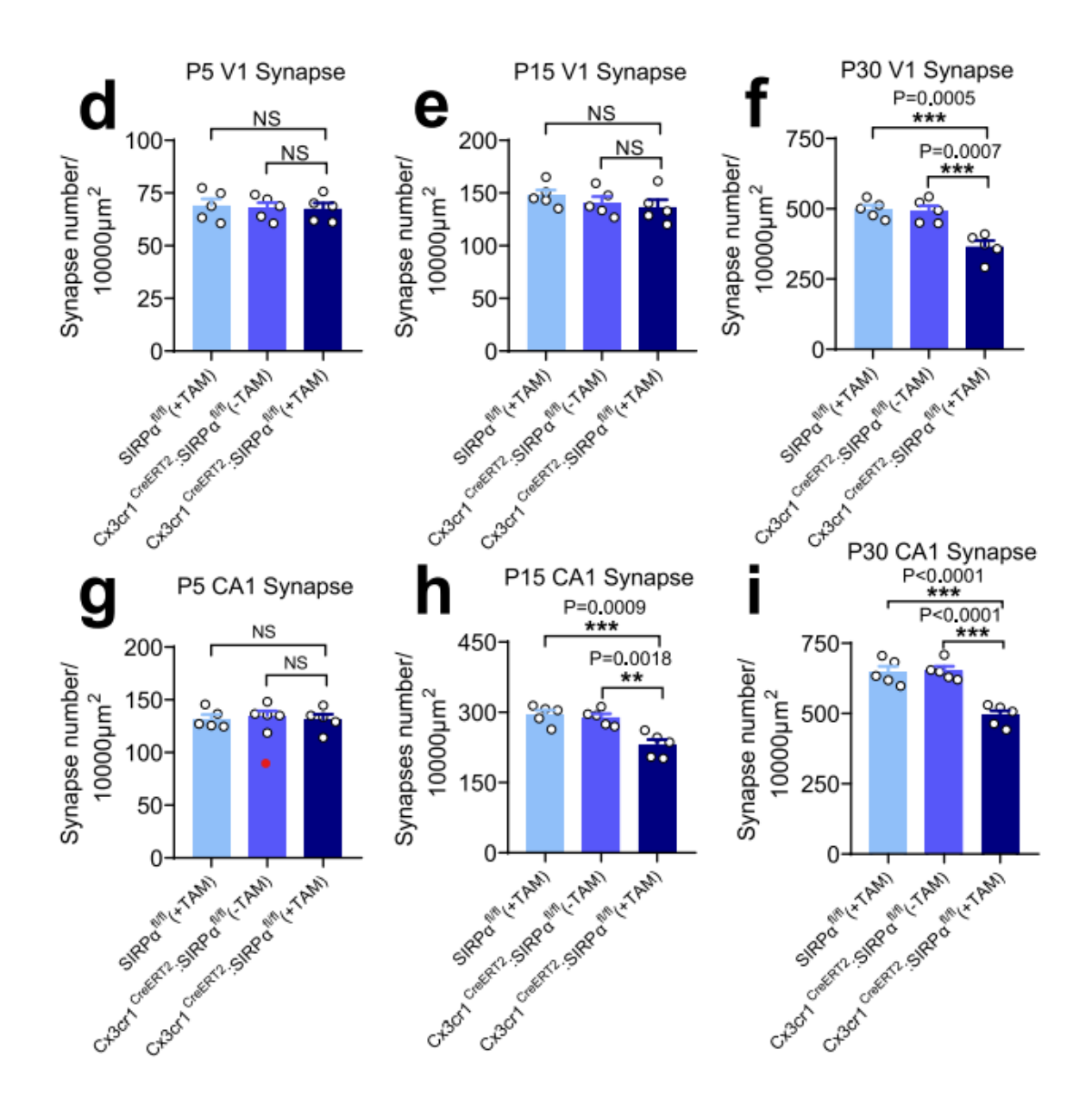
P1-P3: TAMまたはcorn oilを投与

IF:免疫蛍光染色

mEPSC:微少興奮性シナプス後電流

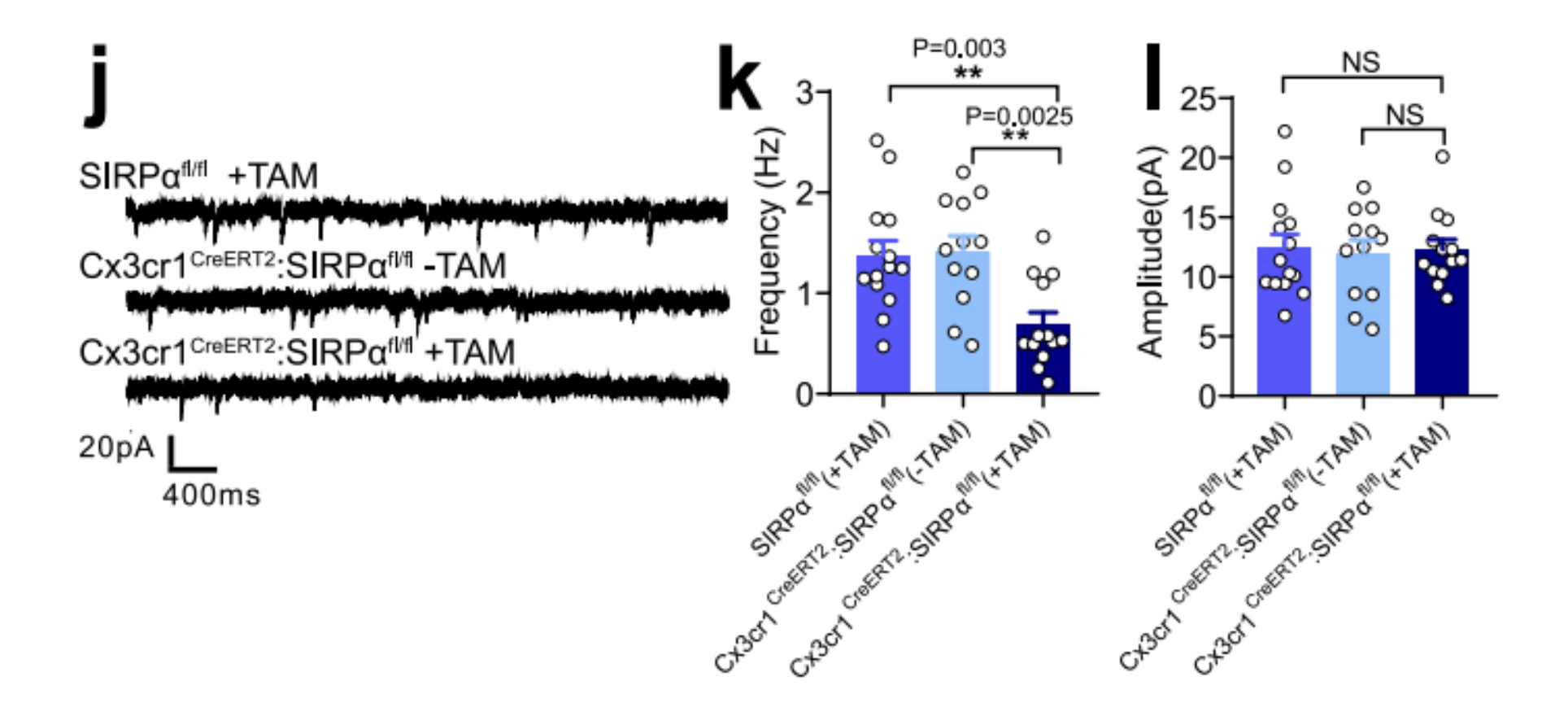


Homer1:シナプス後マーカー Vglut1:シナプス前マーカー



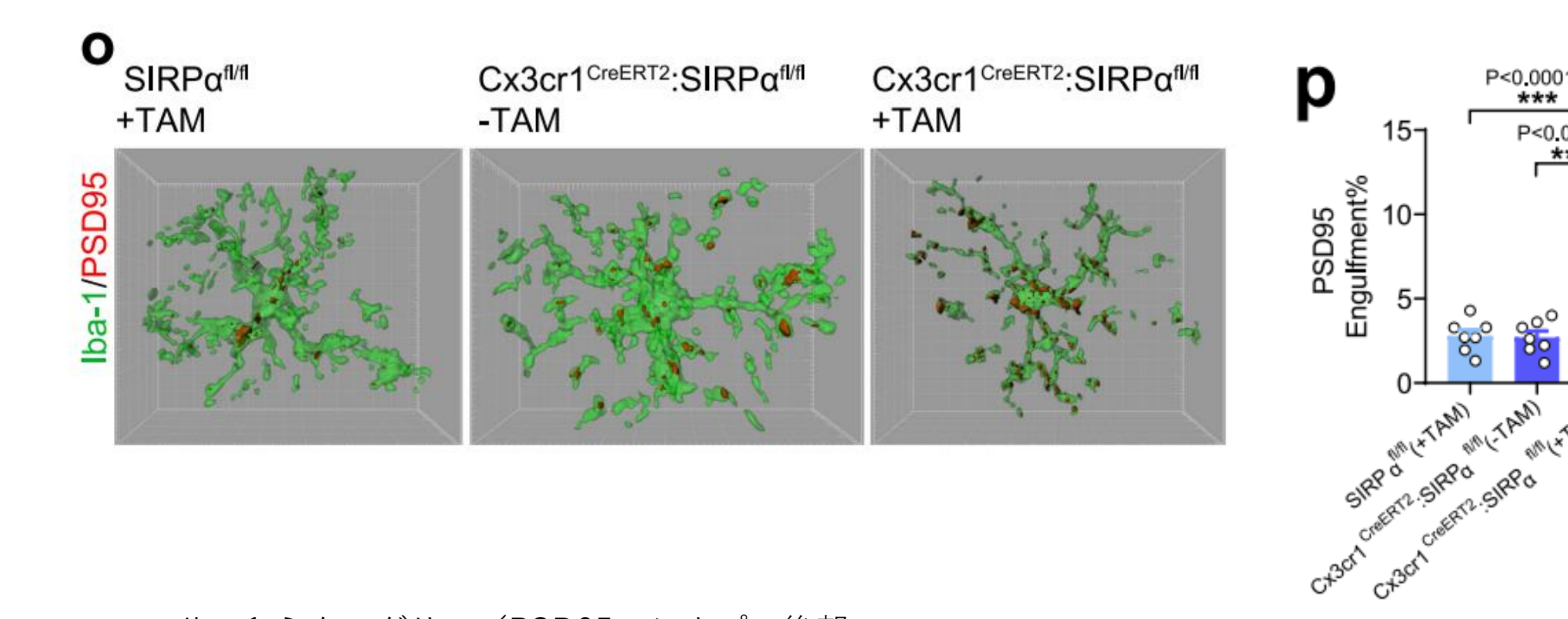
それぞれのシナプス数を定量化し、シナ プス密度を比較した。

→ミクログリアのSIRP欠損は、早期 (<P5)のニューロン成長に影響を与え ることなくシナプス密度を減少させる。



J:mEPSCのトレース例 K:平均mEPSC頻度 L:平均mEPSC振幅

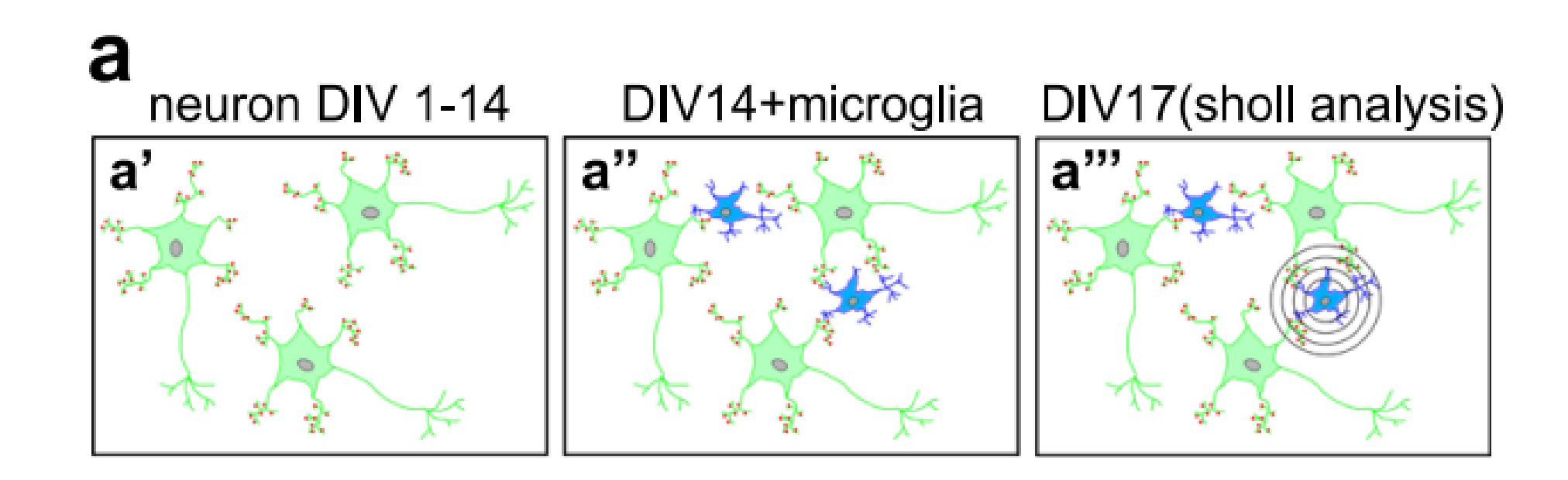
 $SIRP \alpha$ の欠損はmEPSCの頻度を減少させたが振幅は減少させなかった。



P<0.0001 ***

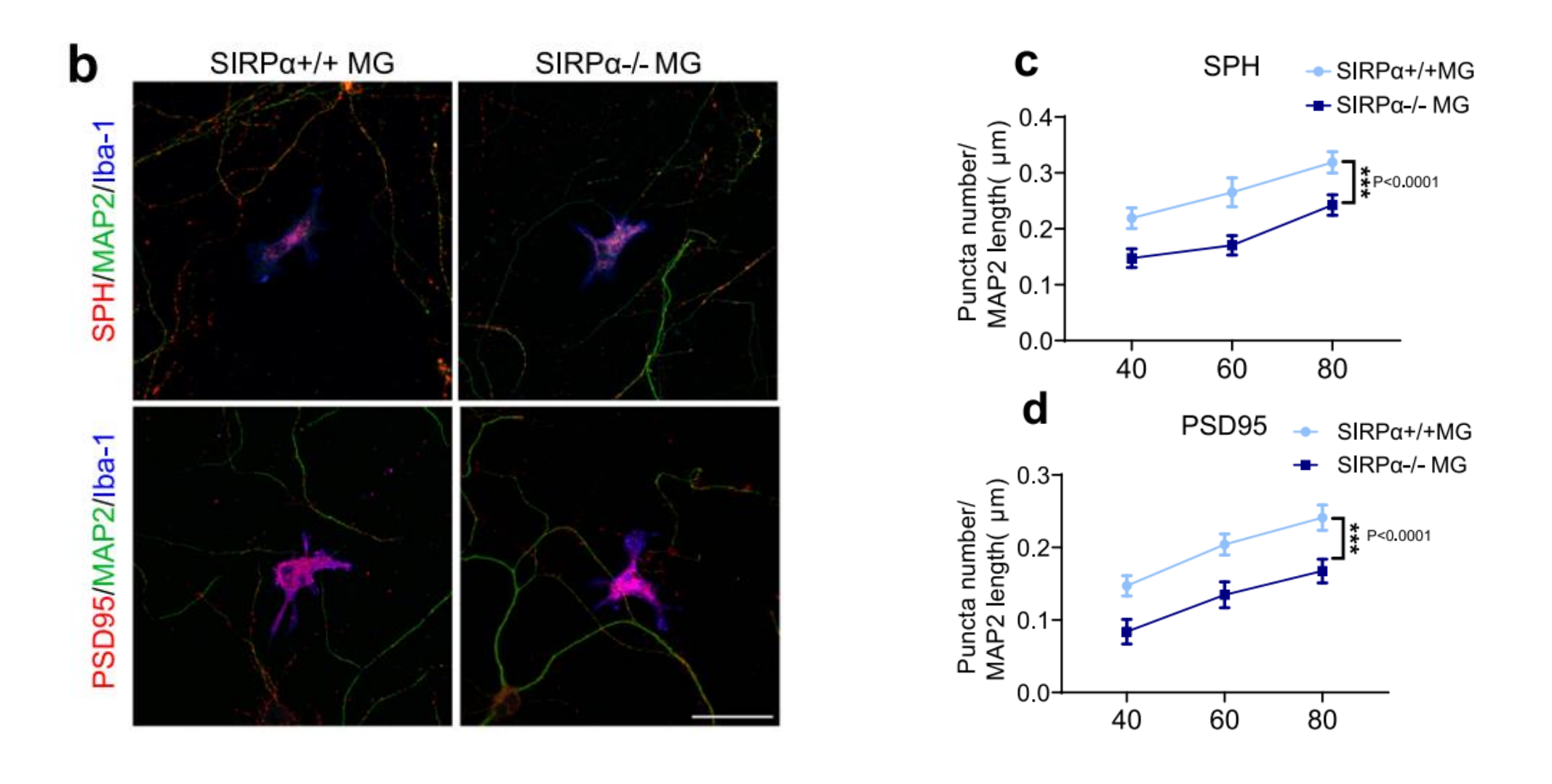
P<0.0001

Iba-1:ミクログリア/PSD95:シナプス後部 P28のV1におけるミクログリア $SIRP \alpha - c KO$ マウスでは、PSD95の体積比が大きい。

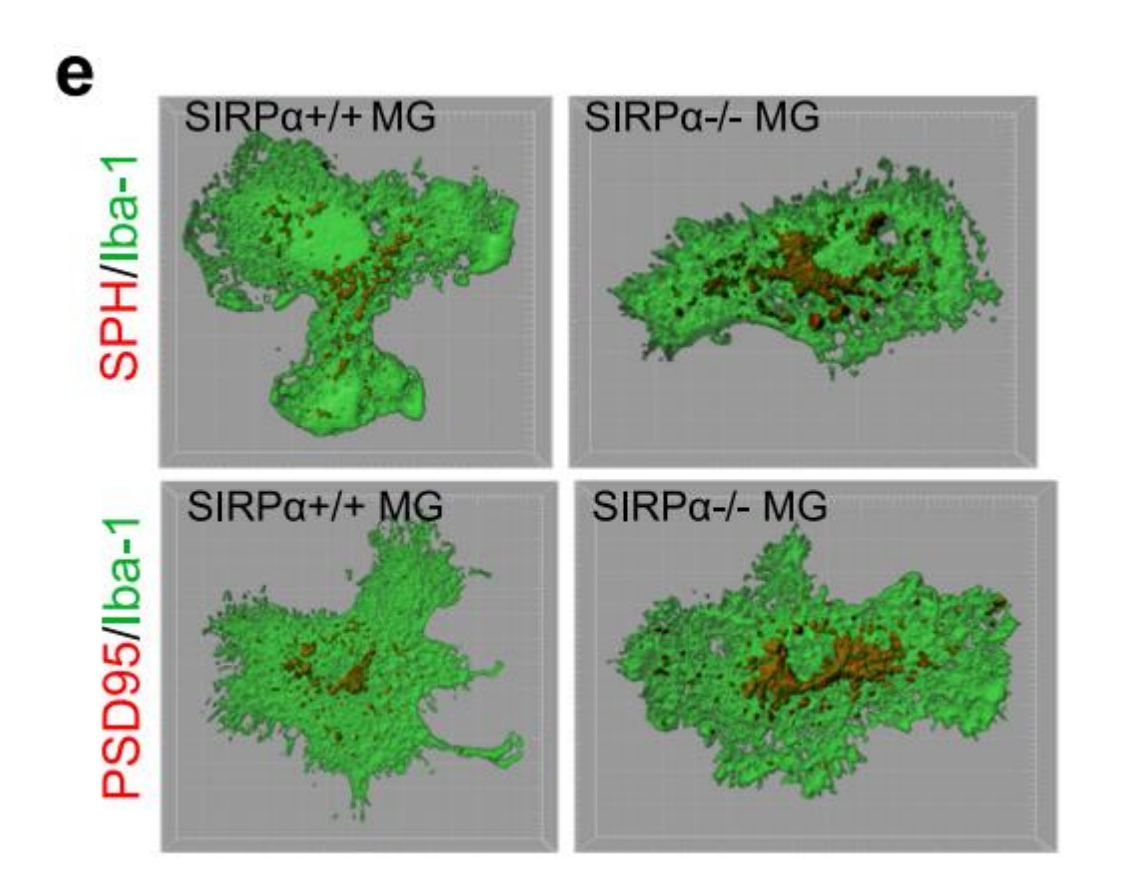


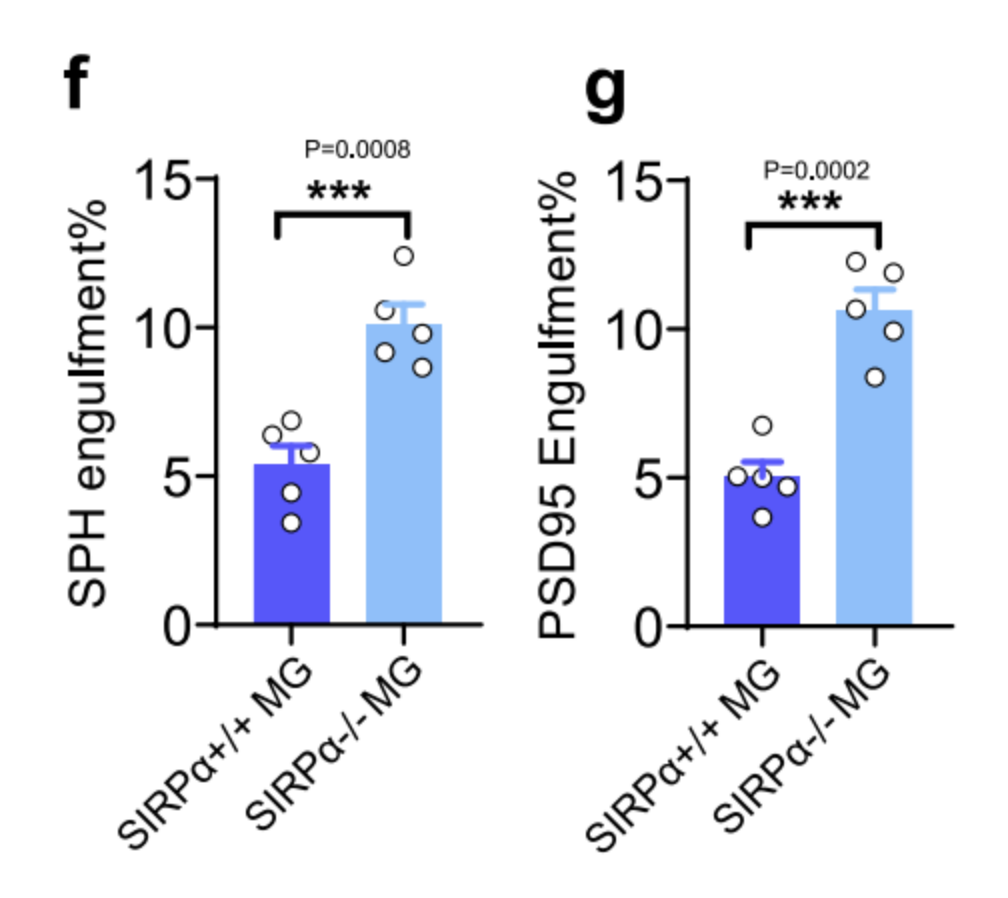
神経細胞とミクログリアの共培養系を用いて、in vitroでミクログリアの貪食を評価した。

緑:ニューロン(MAP2) 赤:シナプス(SPH/PSD95) 青:ミクログリア(Iba-1)



SIRP α 欠損ミクログリアに隣接するシナプス密度(80μ m以内)が減少した。

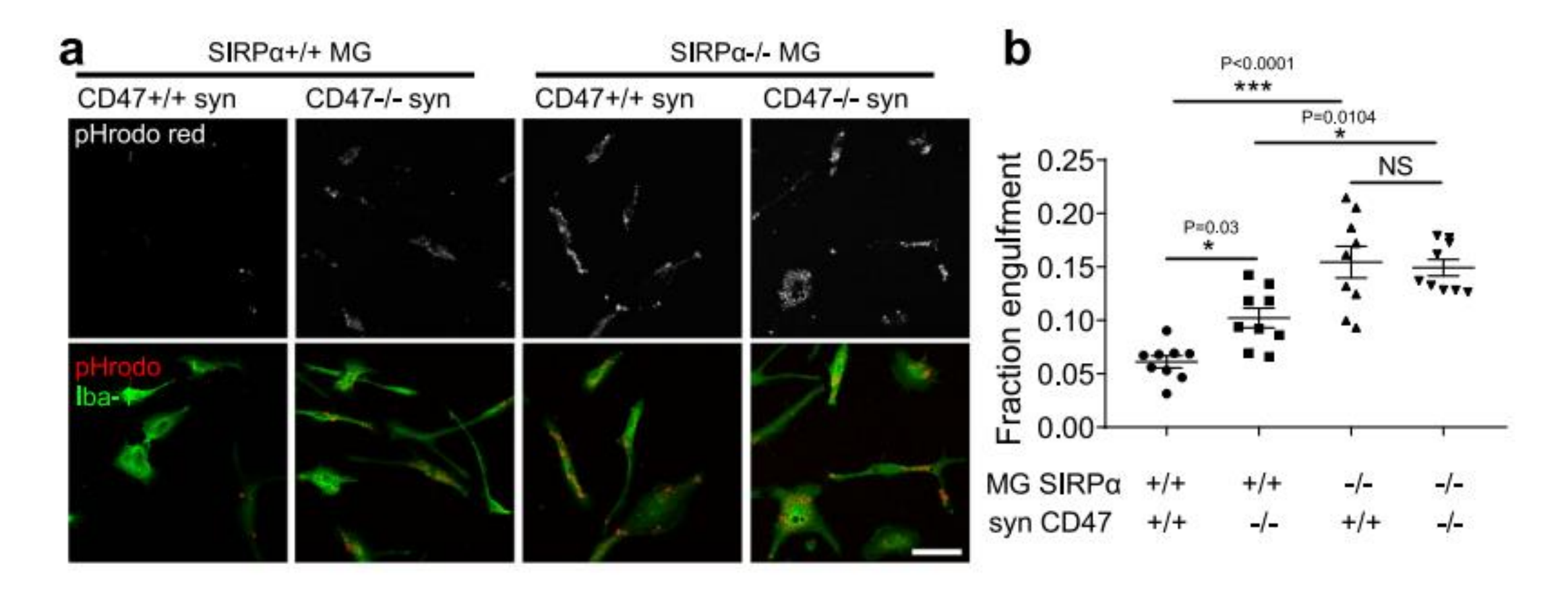




e:3D再構成

f,g:SPHまたはPSD95の点の体積比

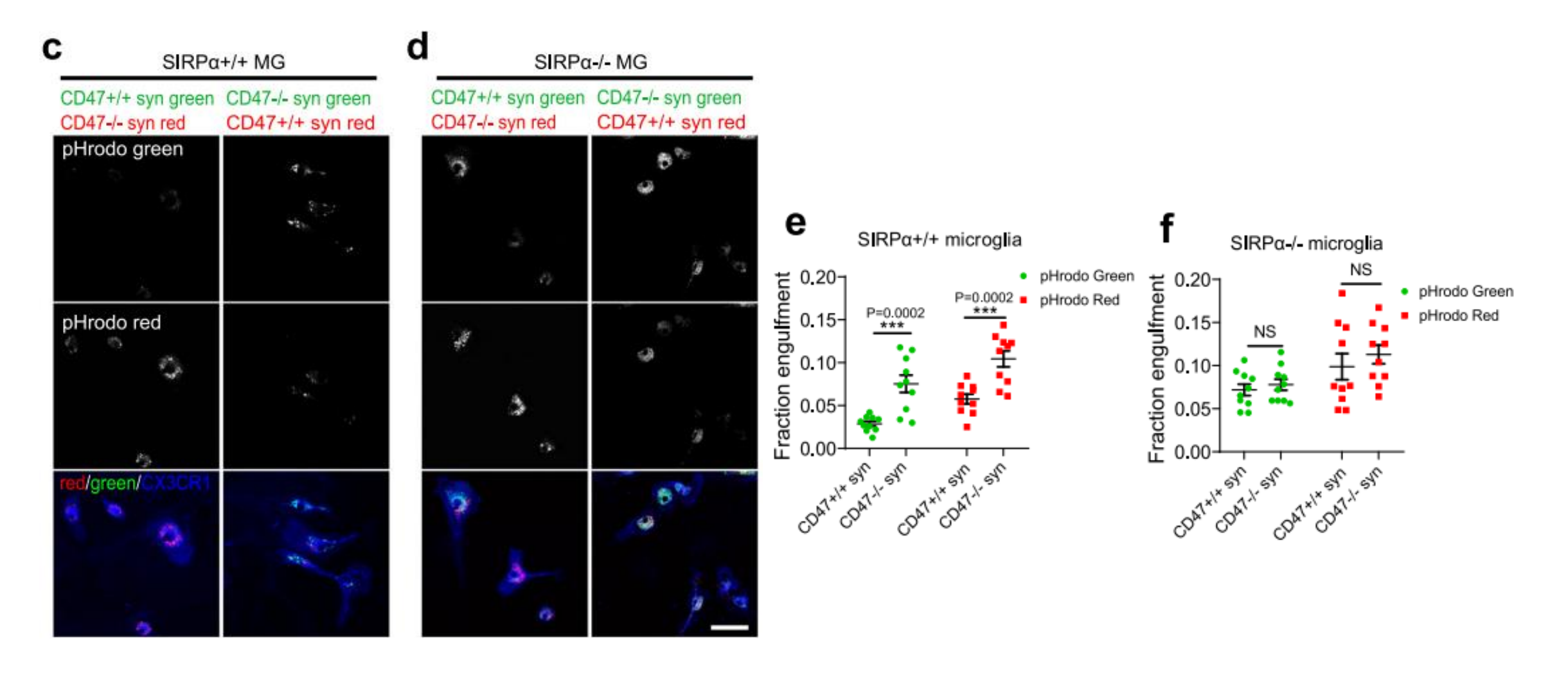
 \rightarrow SIRP α 欠損ミクログリアはより多くのシナプスを取り込んだ



pHrodo red:ファゴソームに取り込まれると発光する

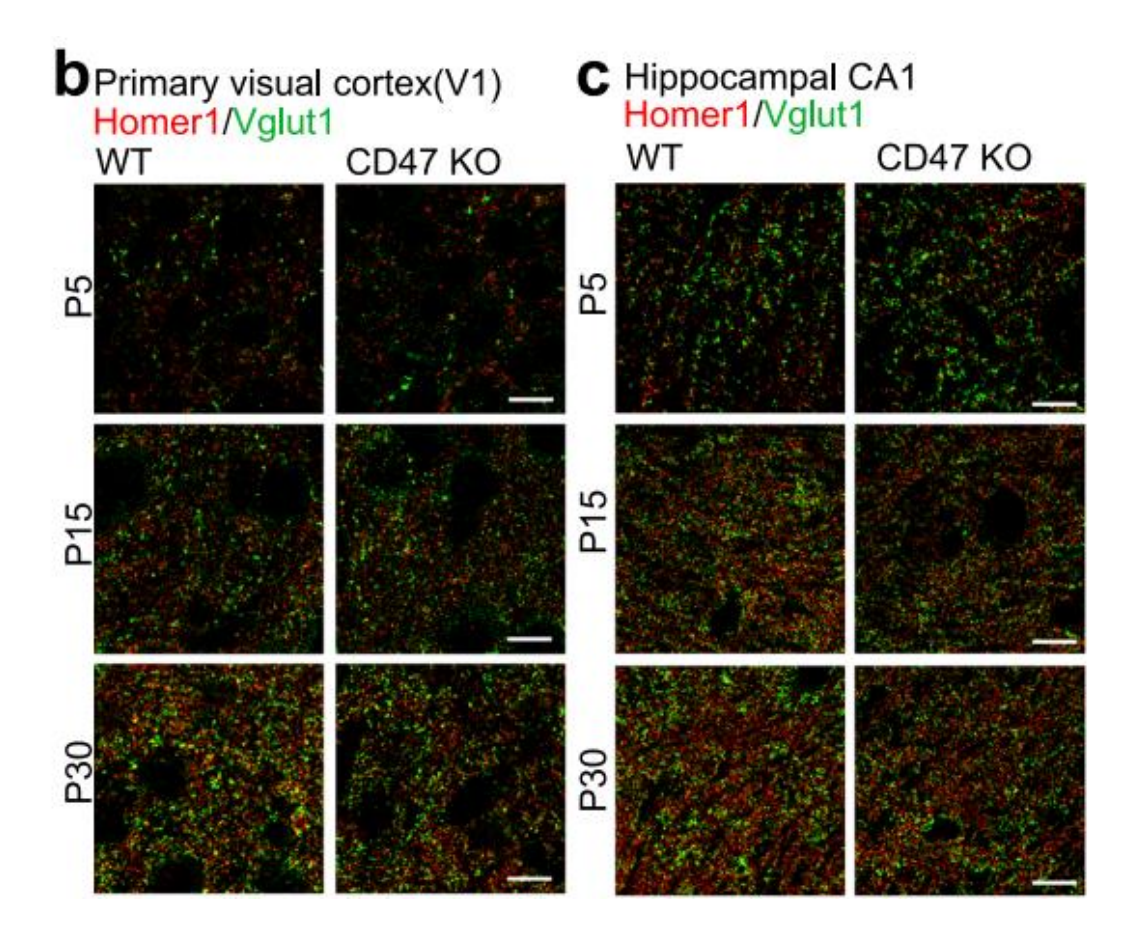
b:異なる遺伝子型のミクログリアに貪欲されたシナプトソームの割合

SIRPα-CD47シグナルが遮断されると、ミクログリアはより多くのシナプトソームを取り込む

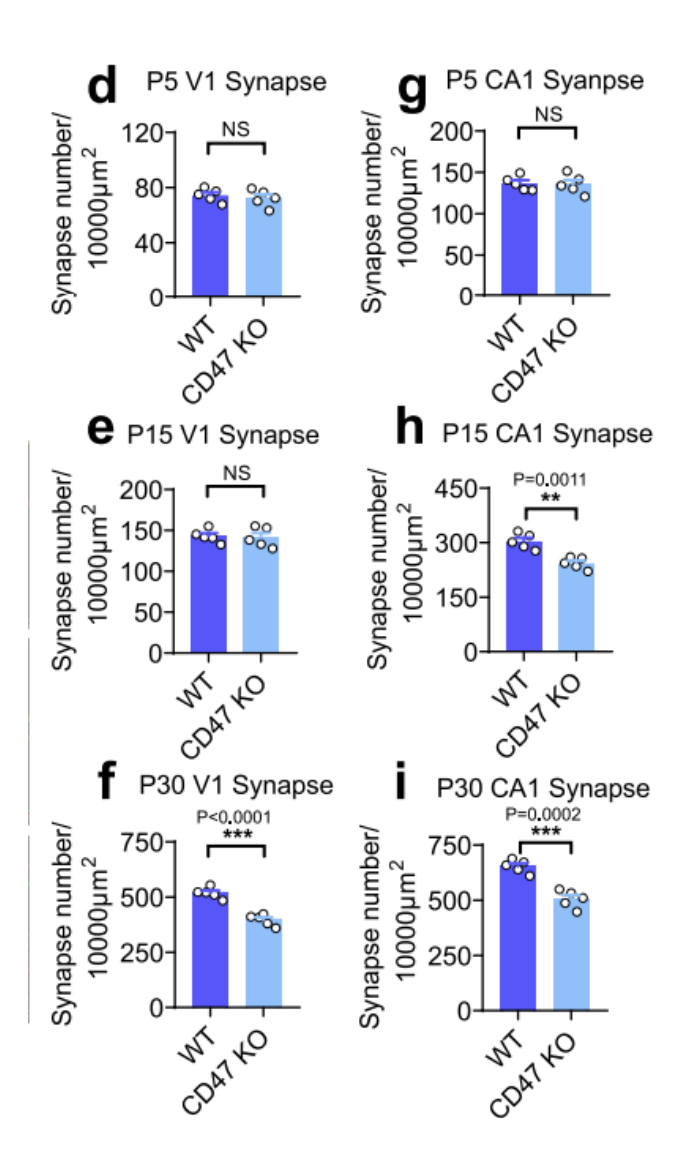


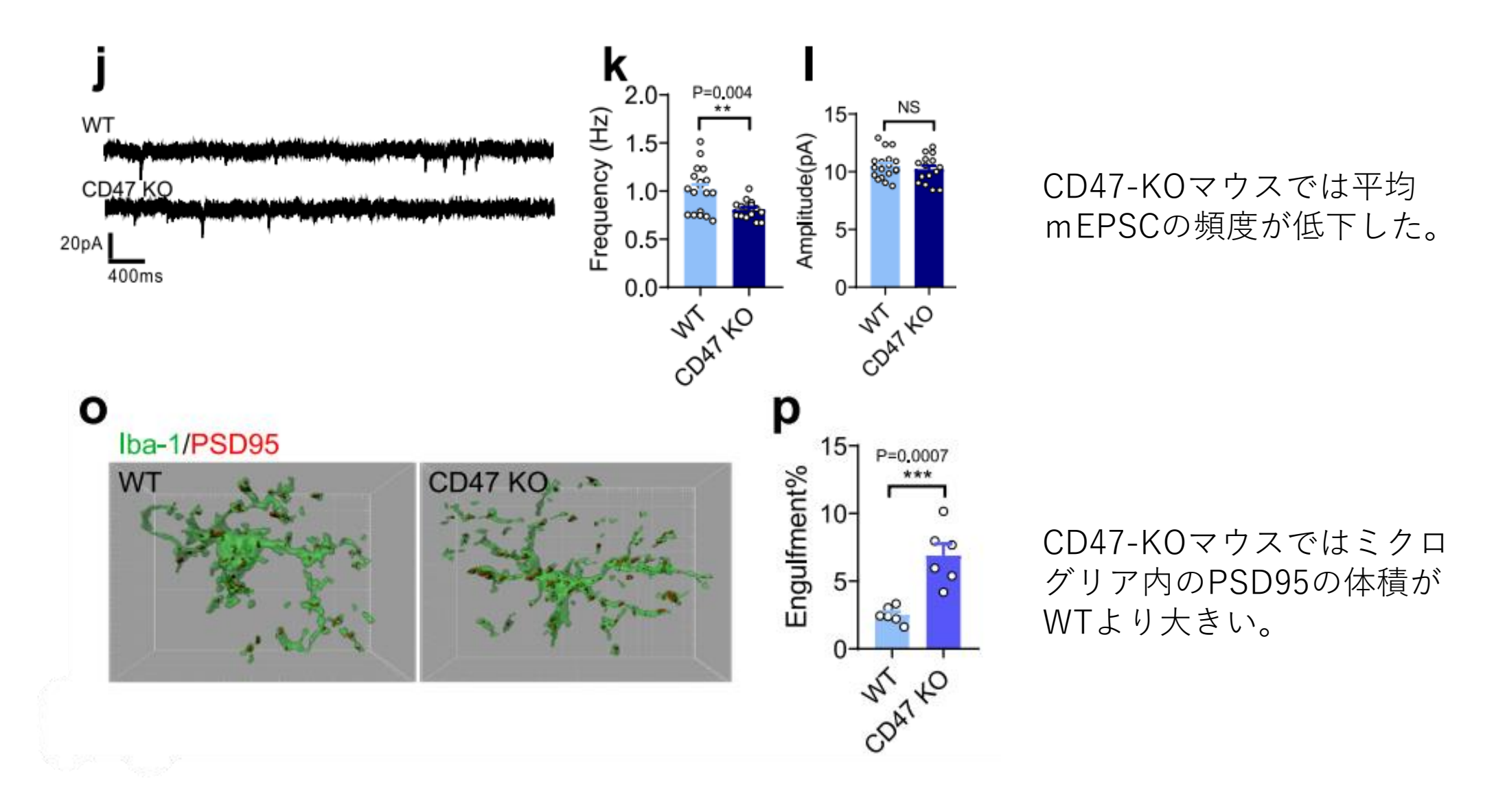
異なるpHrod色素で標識したCD47+またはCD47-シナプトソームの混合物をミクログリアと培養した。

 \rightarrow ミクログリアにおけるSIRP α の欠損はCD47のシグナル認識を低下させるだけでなく、貪食能の亢進をもたらし、シナプス構造を過剰に除去する可能性が示唆される。

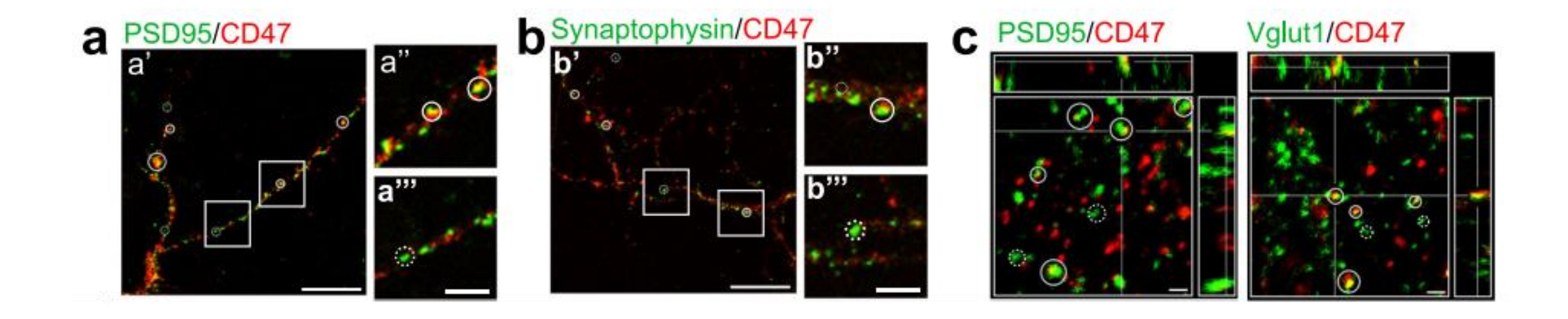


CD47-KOマウスでは、シナプス密度が低下した。





 \rightarrow SIRP α -CD47シグナルは神経発達初期にミクログリアが介在する過剰な排除からシナプスを保護している。

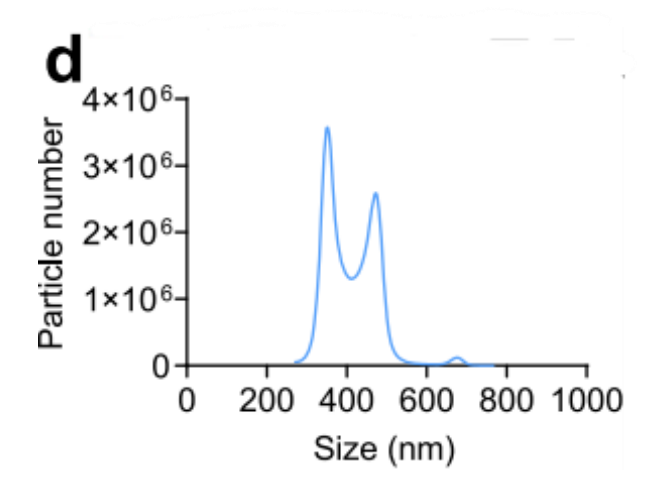


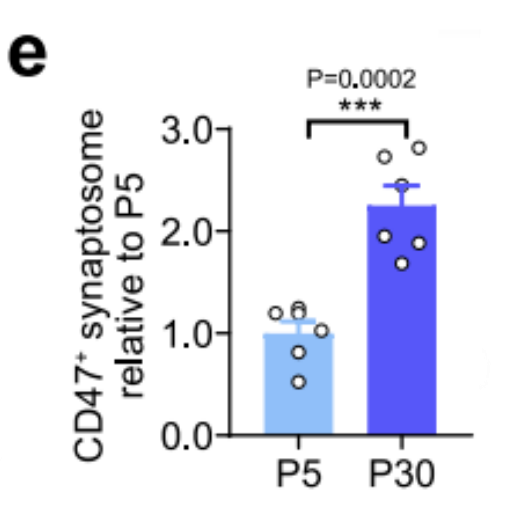
a: PSD95+/CD47+とPSD95+/CD47-の両方が存在する

b: Synaptophysin+/CD47+とSynaptophysin+/CD47-の両方が存在する

c: CD47+とCD47-の両方が存在する

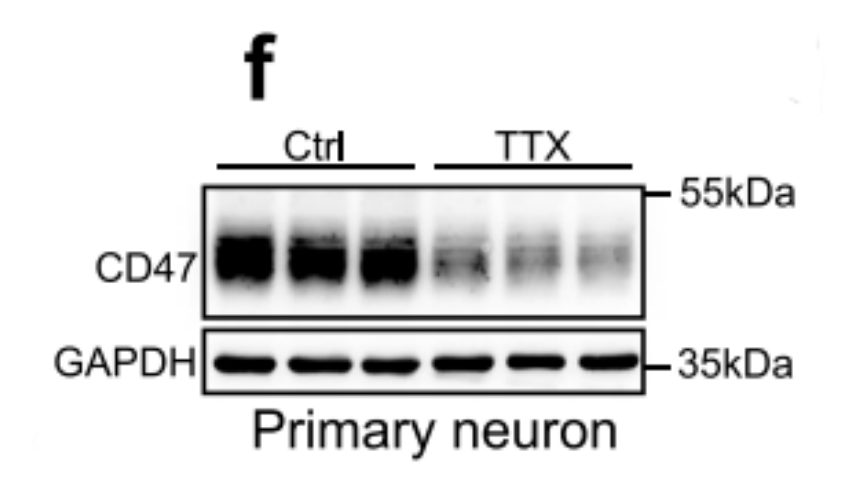
→CD47は神経細胞のシナプスで異なる発現をしている

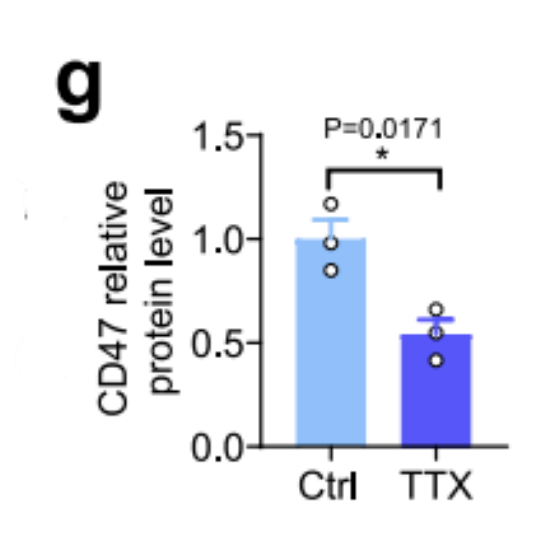




d:マウスの脳からシナプトソーム を採取し、NanoSightでCD47シグ ナルを測定

→加齢に伴うCD47陽性シナプスの 増加

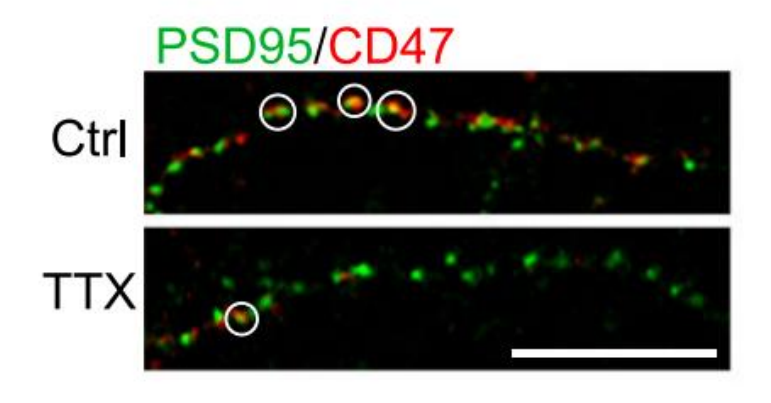


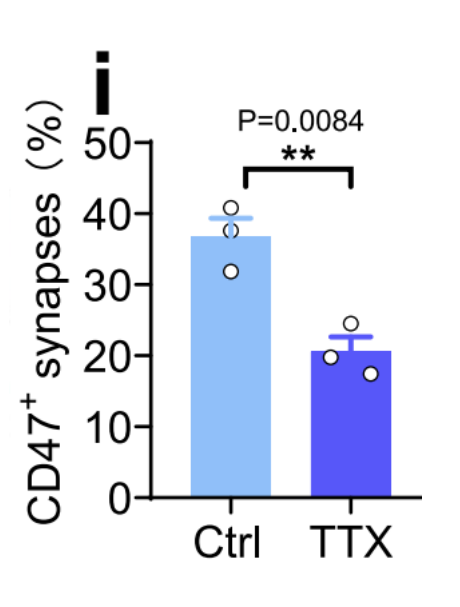


TTX:テトロドトキシン(チャネ ル遮断薬)

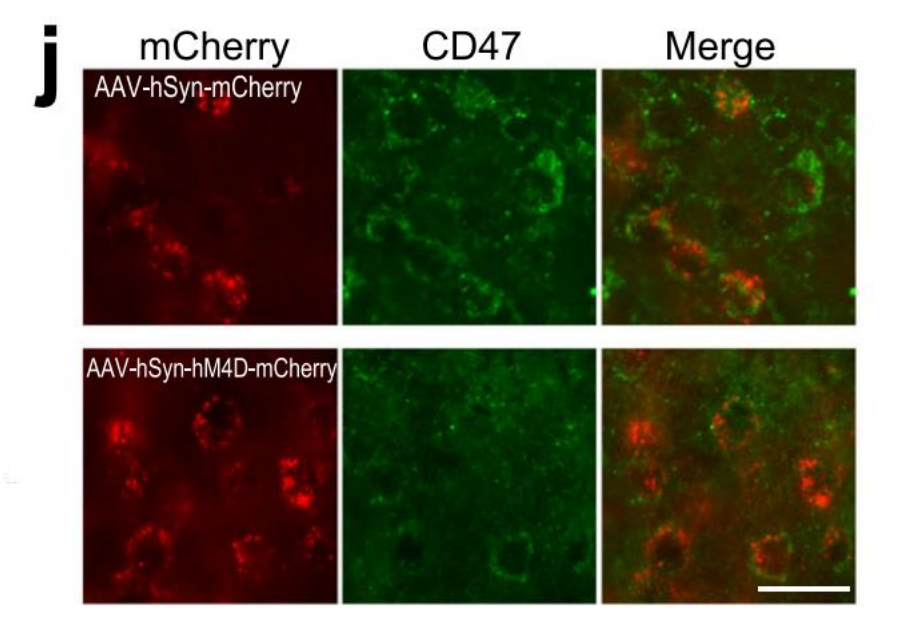
→CD47の発現減少

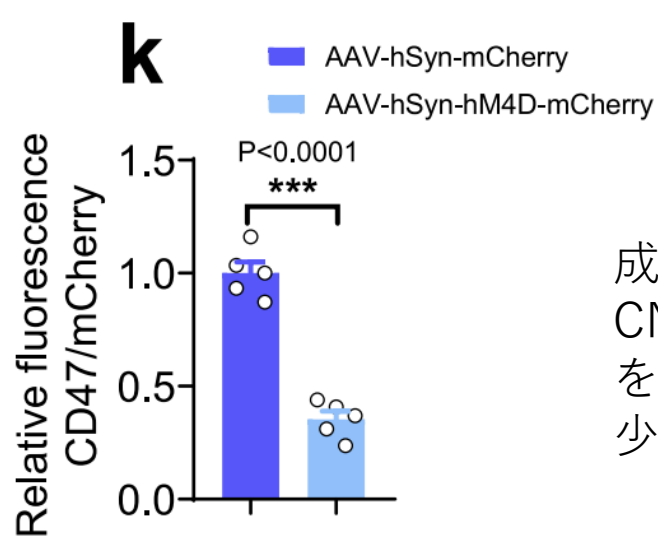




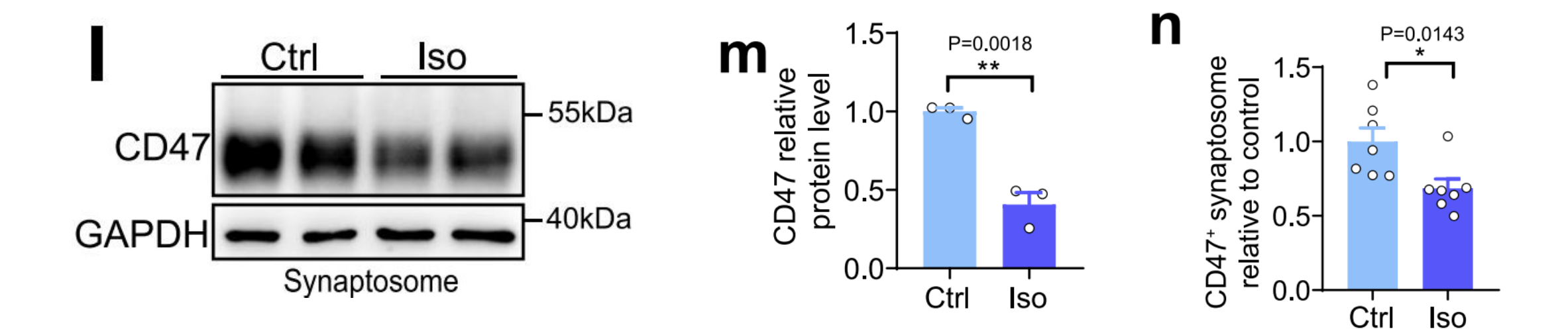


TTX処理ニューロンでCD47+シナプスの割合が減少





成体マウスの大脳皮質神経細胞。 CNO投与によりニューロンの活動 を抑制すると、CD47の発現が減 少した

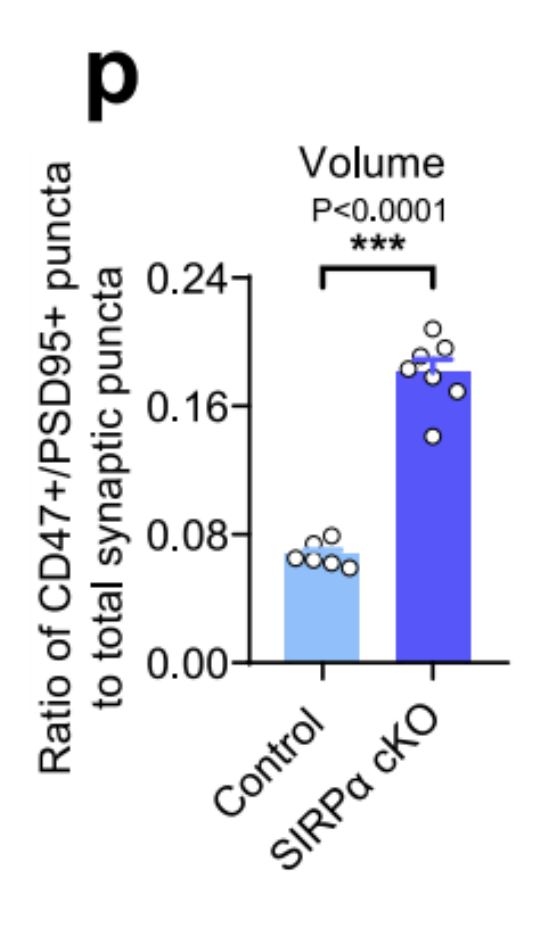


lso:イソフルラン

m:ウエスタンブロット解析。IsoでCD47減少。

n: NanoSight。IsoでCD47+シナプトソームの減少

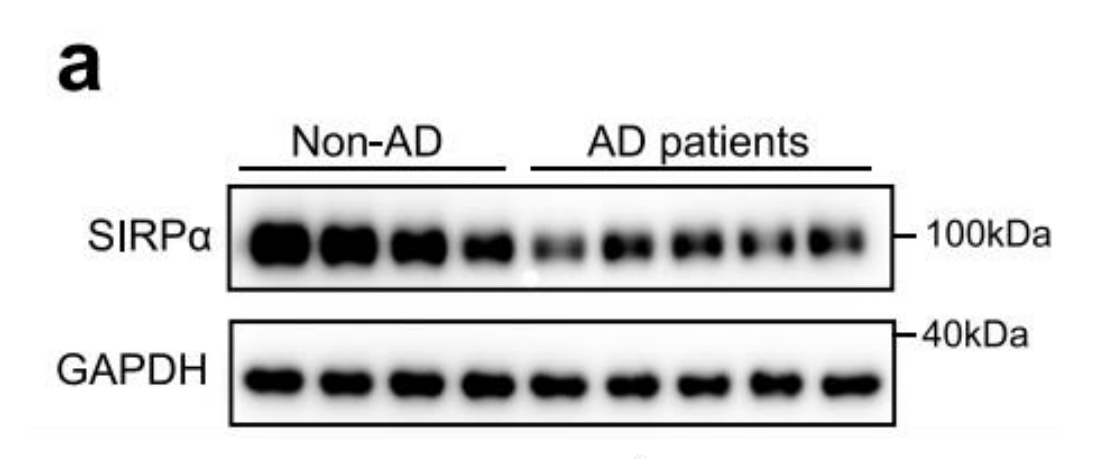
O lba-1/PSD95/CD47 Control iii SIRPa cKO

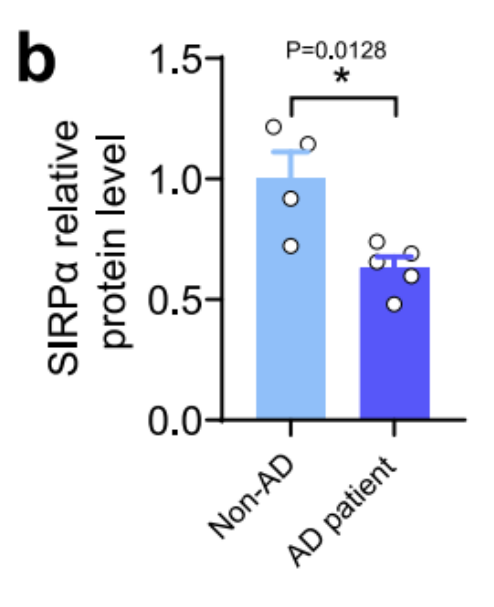


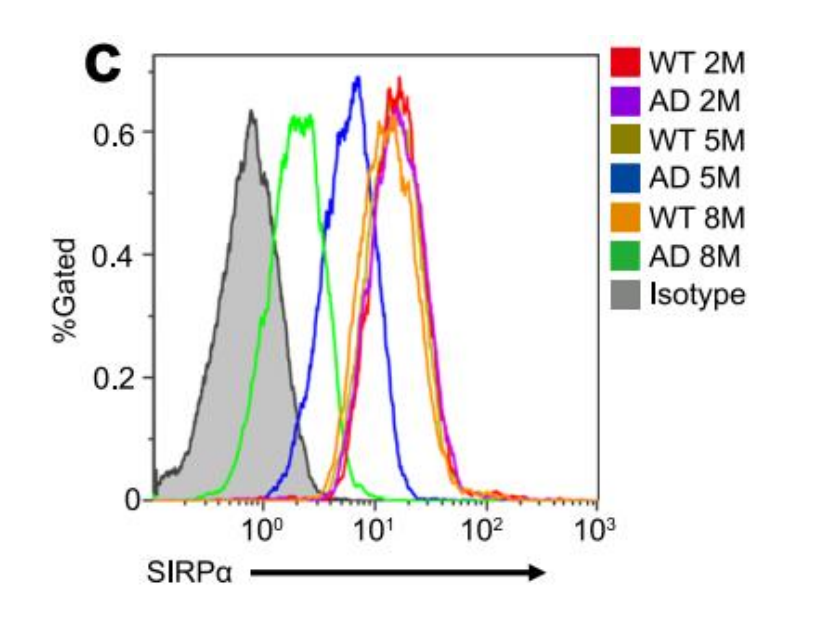
i,iii;ミクログリア内のPSD95+とCD47+

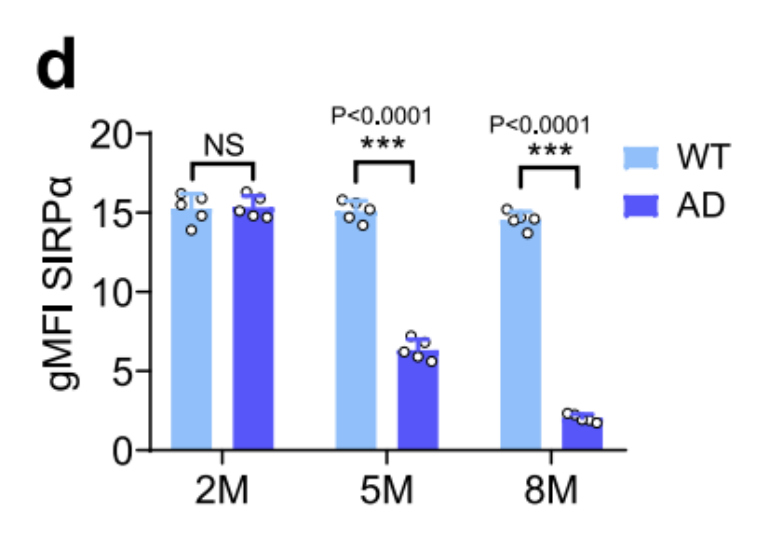
ii,iv:PSD95+とCD47+の共局在

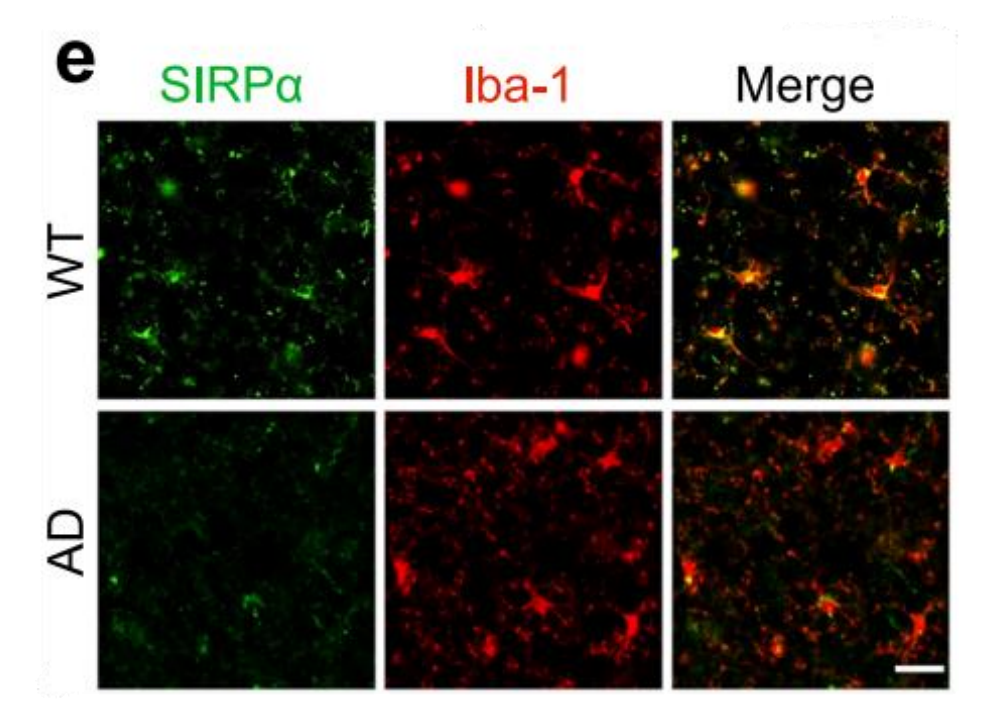
 \rightarrow SIRP α 欠損ミクログリアではCD47-シナプスの選択的取り込みが低下する。

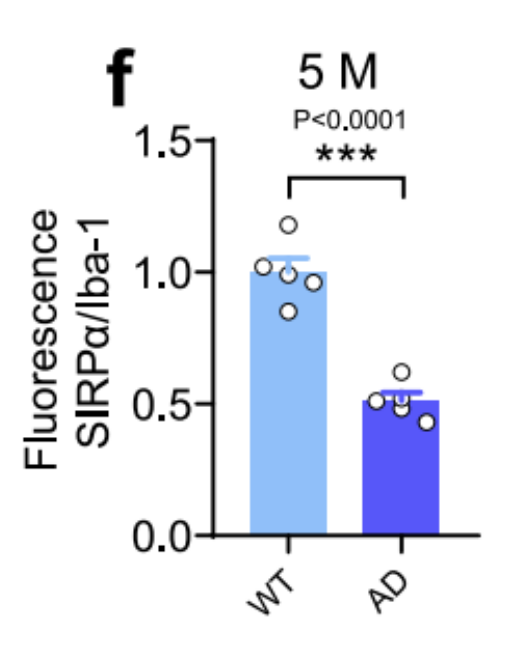




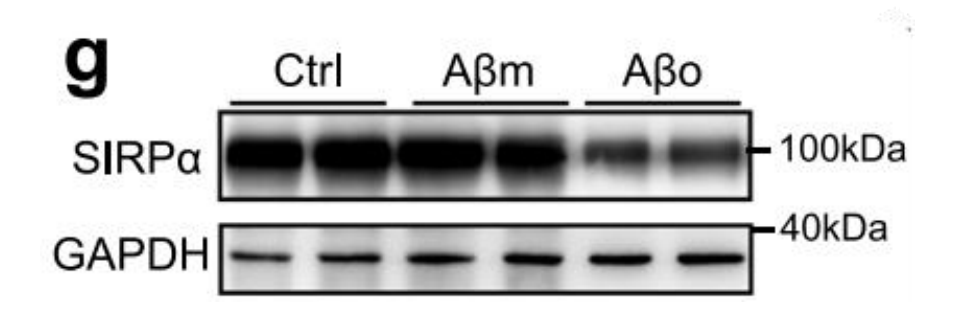


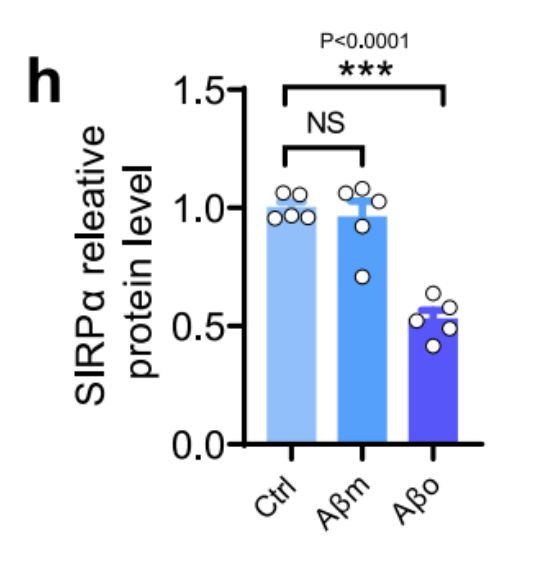






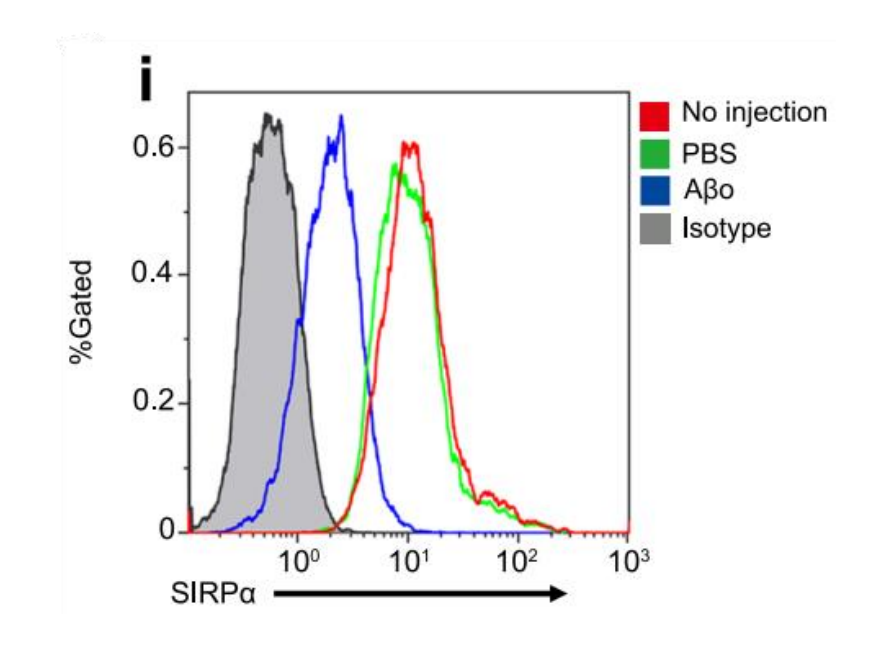
WTとAD(5ヶ月齢)の大脳皮質におけるSIRP α の免疫染色と定量。

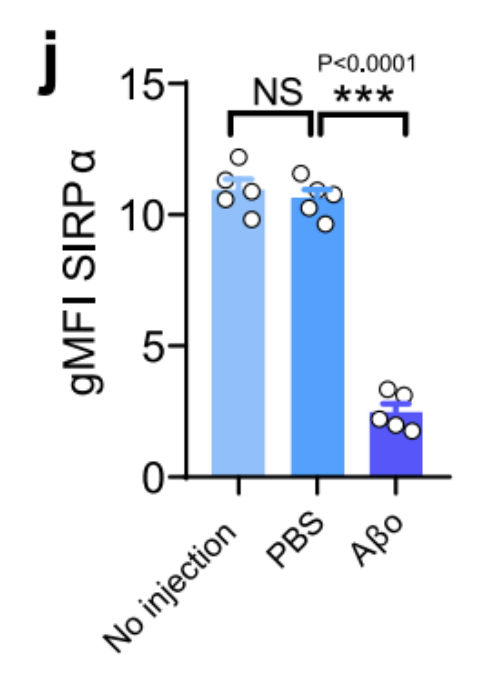




初代ミクログリアにA β モノマー/オリゴマーを負荷した

 $\rightarrow A \beta$ oでSIRP α タンパクが低下





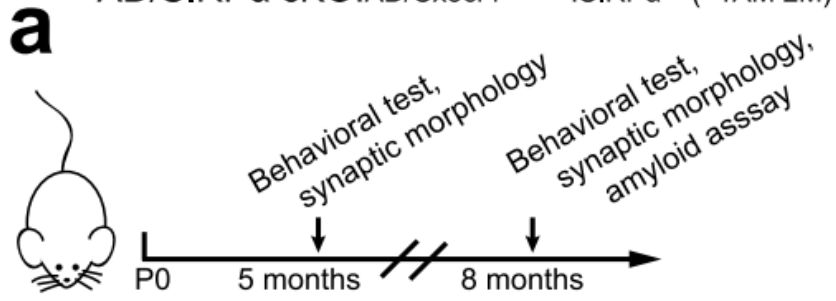
 $A\beta$ oを脳室内に投与した3日後のフローサイトメトリー

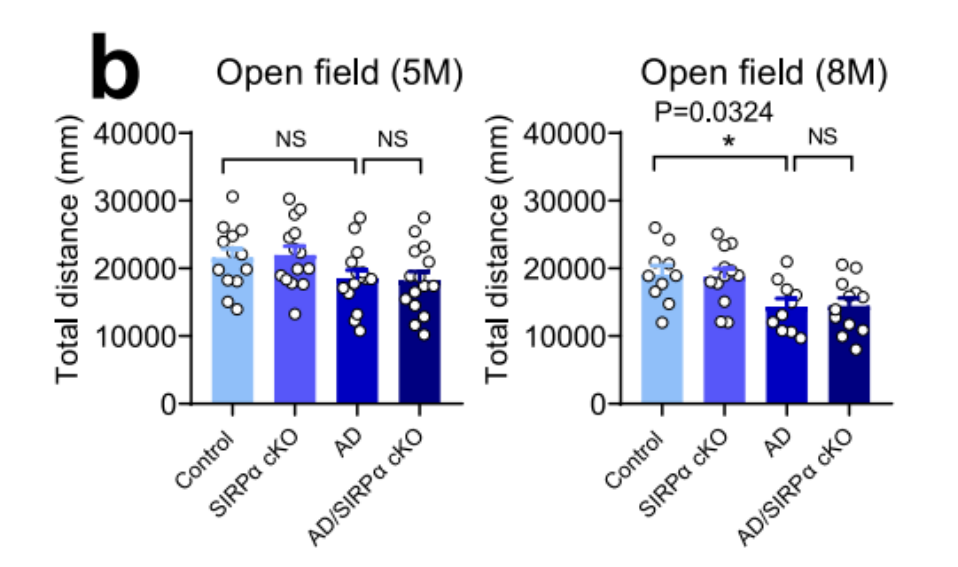
Control: Cx3cr1^{CreERT2}:SIRPα^{fl/fl} (-TAM)

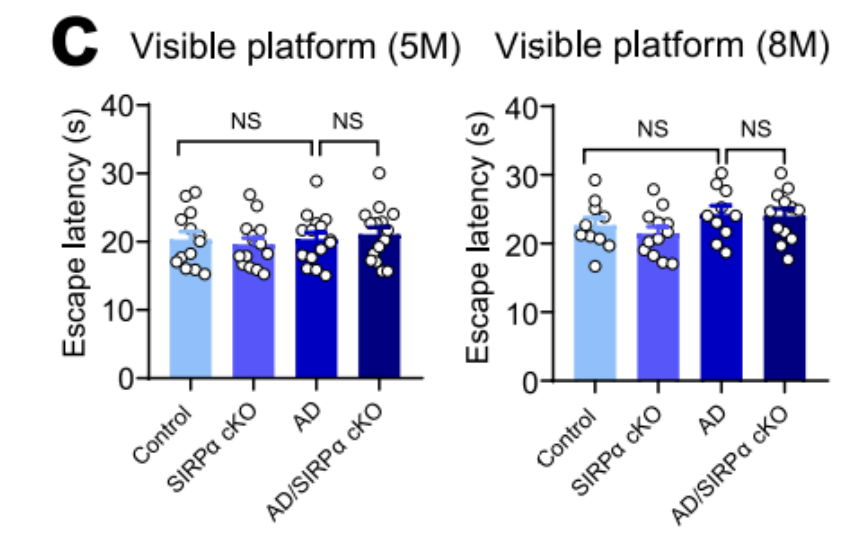
SIRP α cKO:Cx3cr1^{CreERT2}:SIRP α ^[M] (+TAM 2M)

AD: APPswe, PSEN1dE9

AD/SIRPα cKO:AD/Cx3cr1^{CreERT2}:SIRPα^{fl/fl} (+TAM 2M)

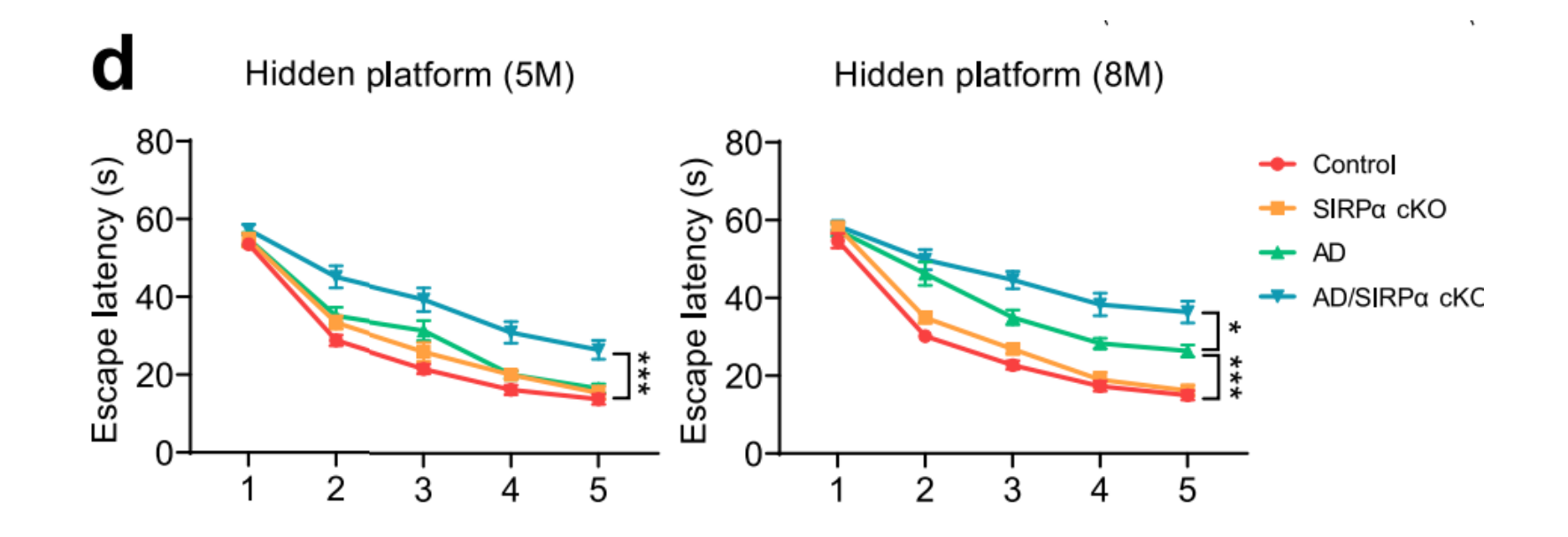


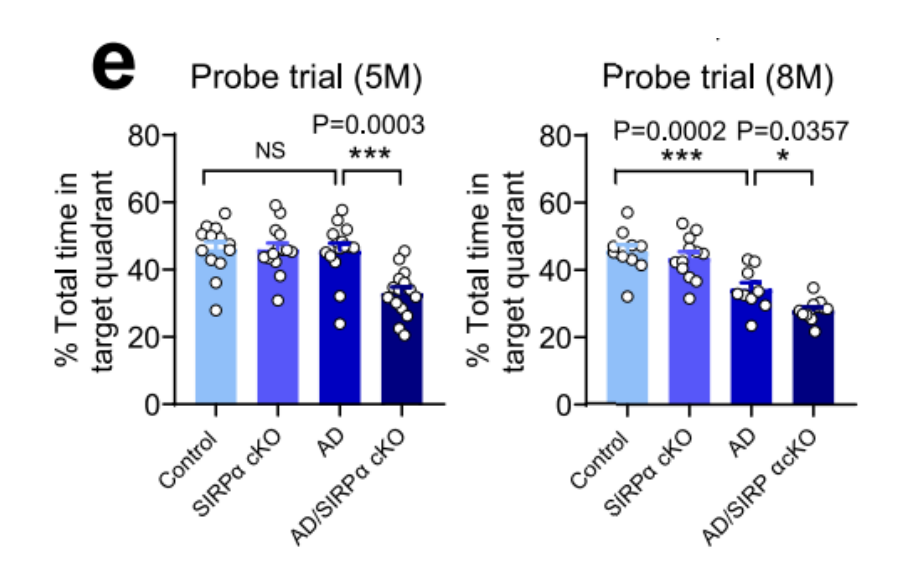




b:運動活性

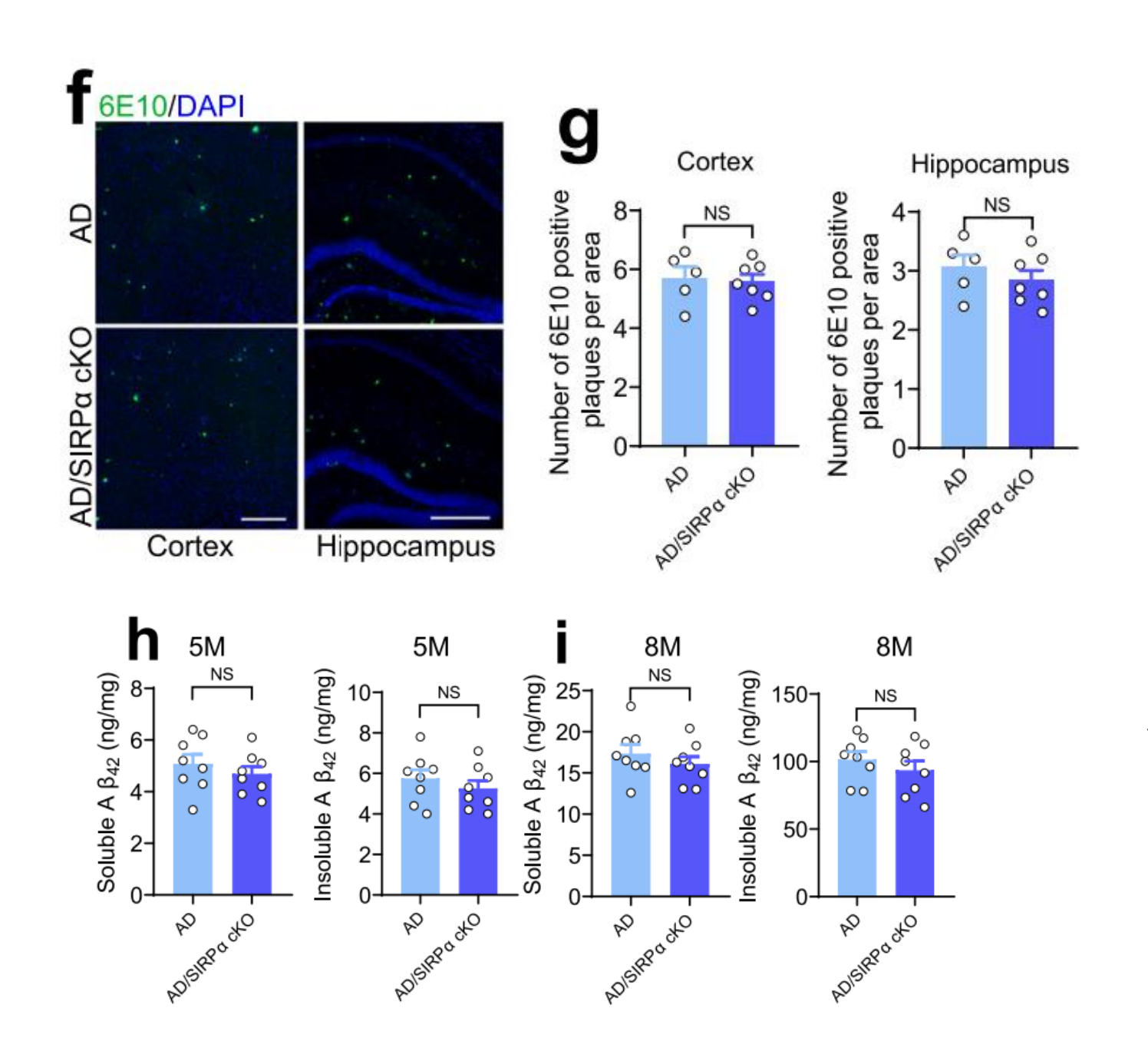
C:視力





d:モリス水迷路で隠れたプラットフォームに たどり着くまでの時間(5日)

 \rightarrow ミクログリアSIRP α の欠損はプラーク形成に 先行してADマウスの認知機能障害を加速させる

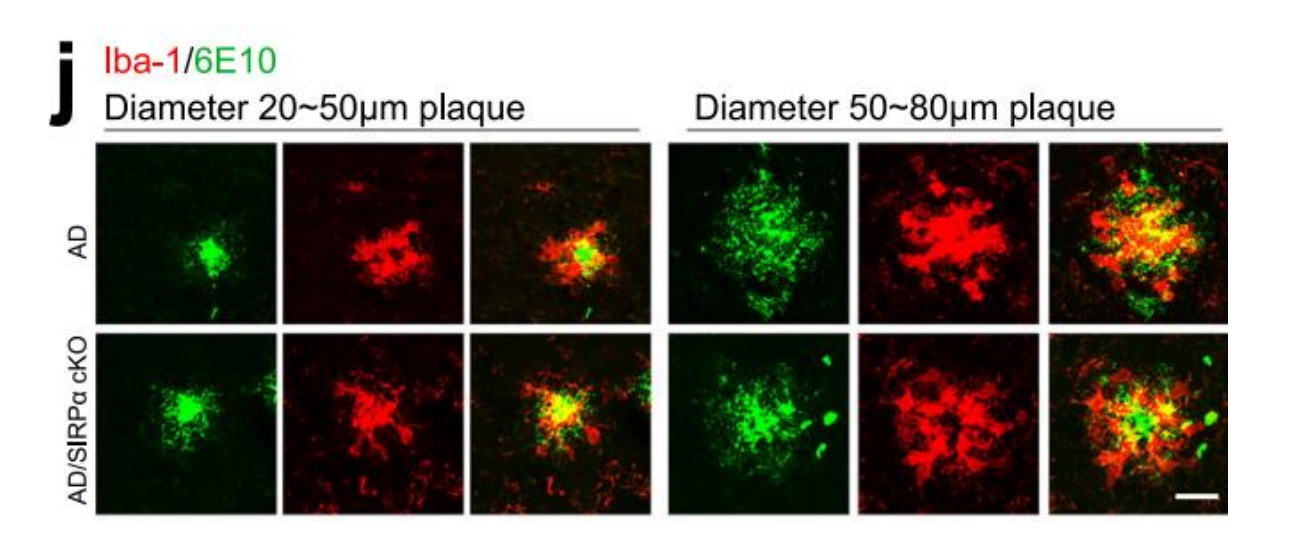


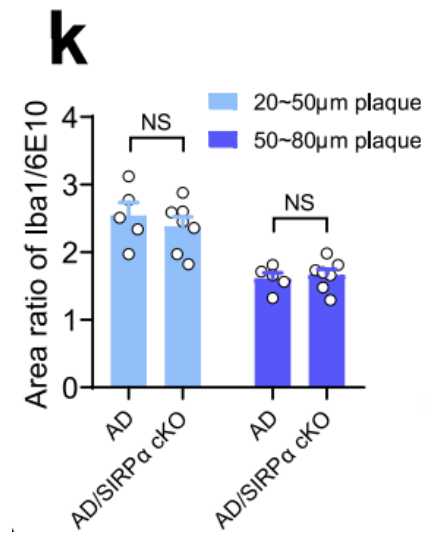
6E10:A β 抗体

DAPI: 二本鎖DNA抗体

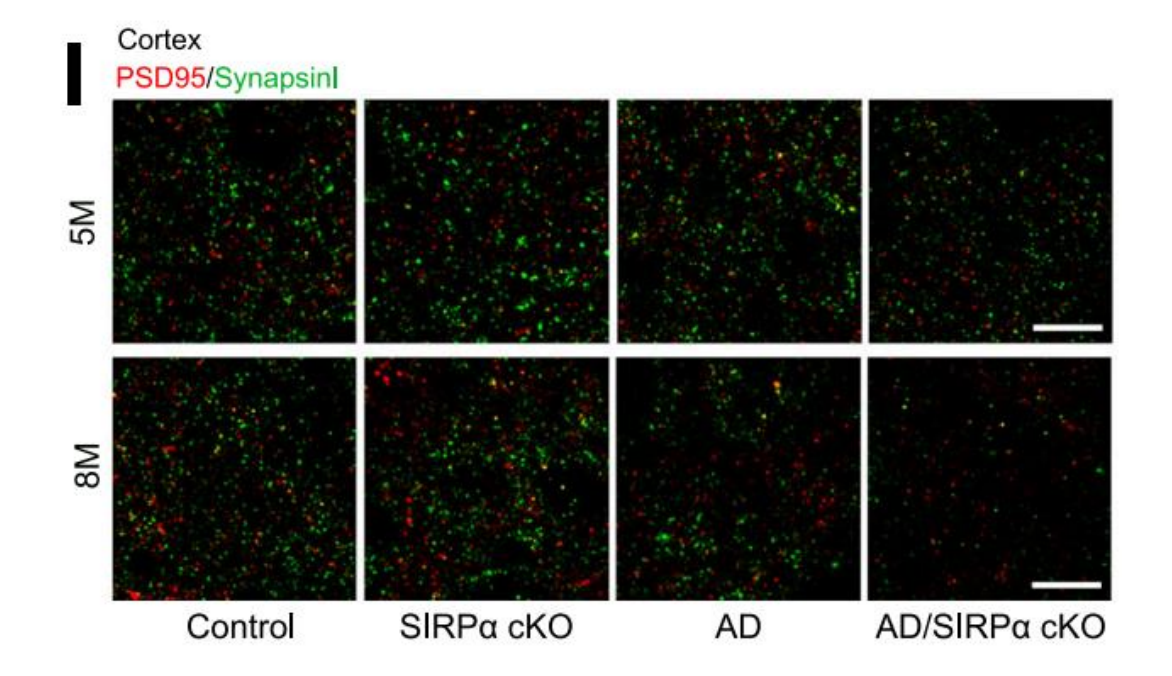
→アミロイド沈着に差がない

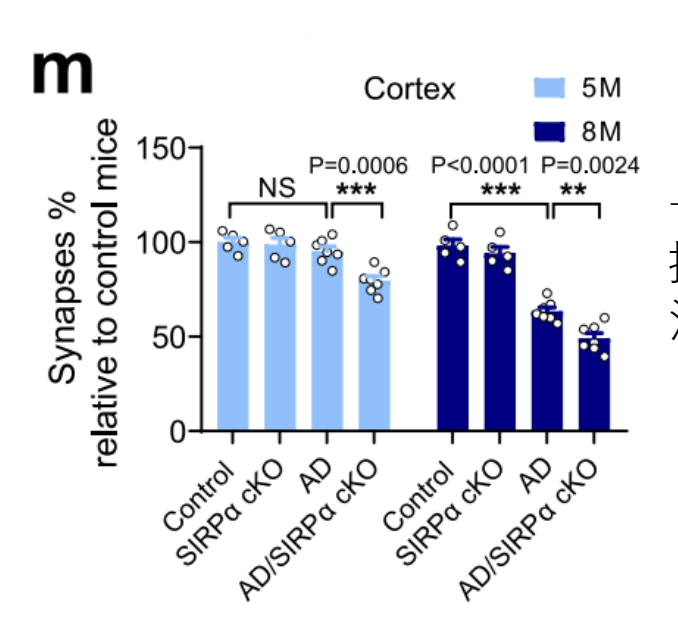
可溶性/不溶性A β のELISA解析



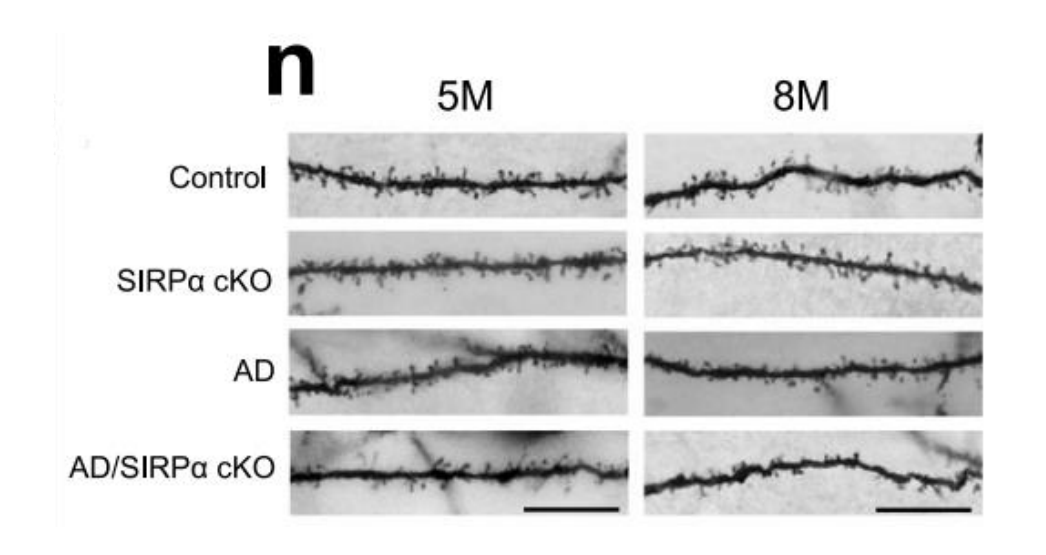


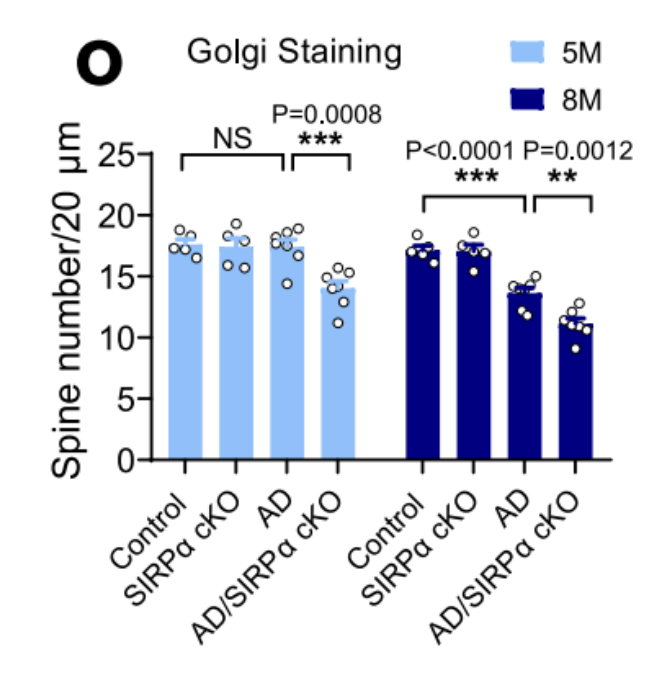
 \rightarrow ミクログリアのSIRP α 欠損はADマウスのアミ ロイド病理にほとんど影 響を与えない



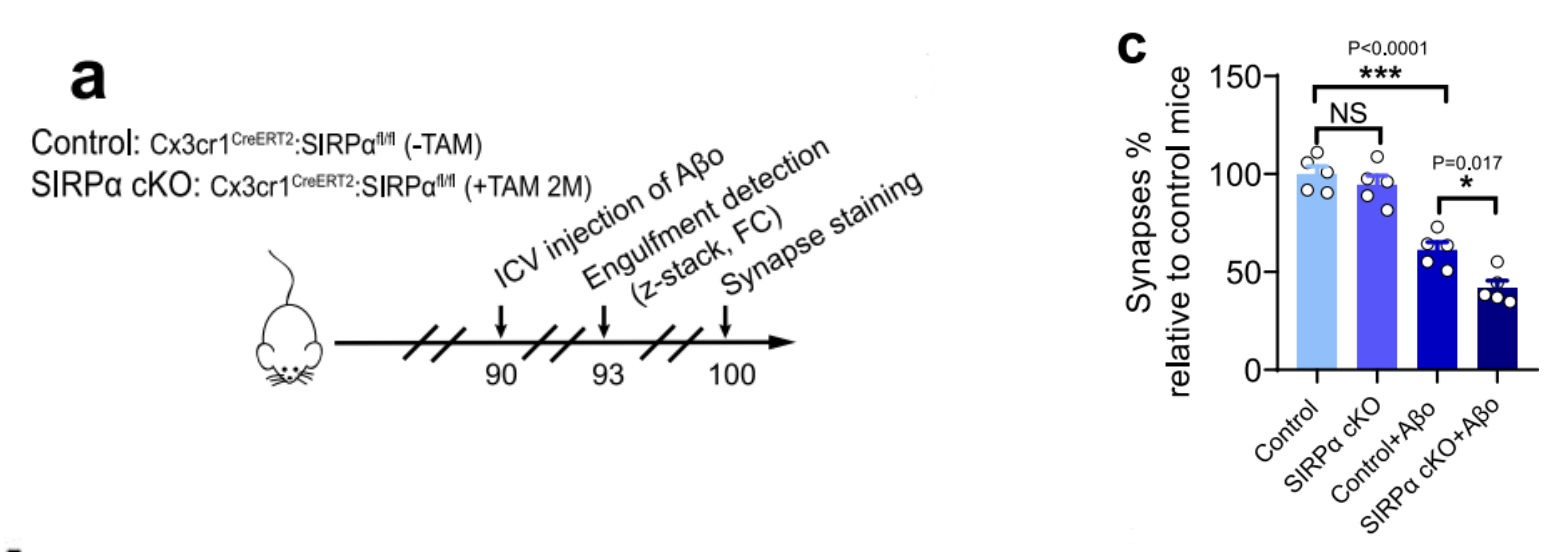


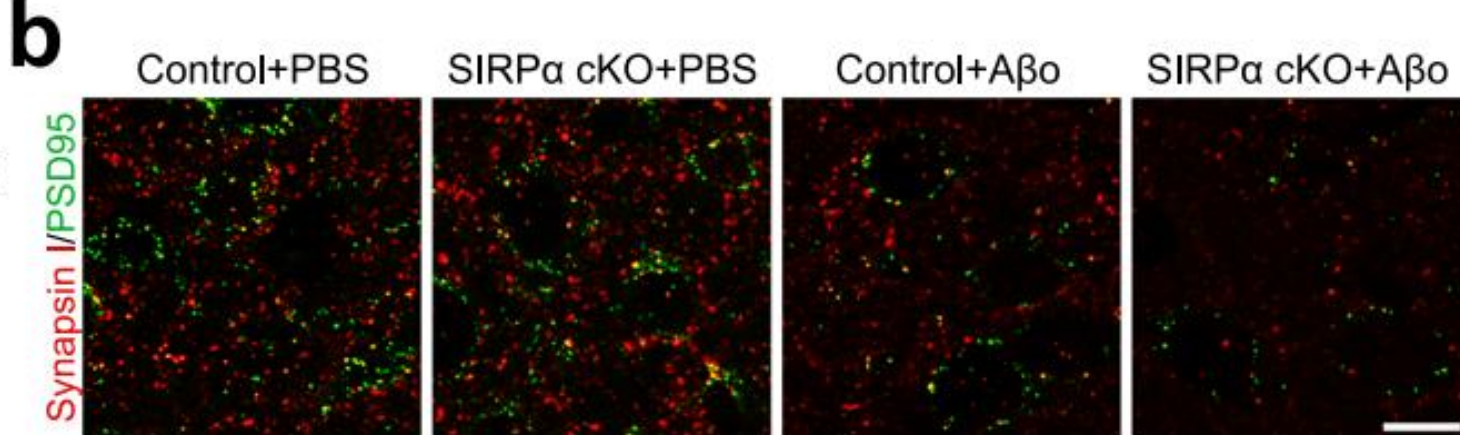
 \rightarrow ミクログリアSIRP α 欠 損がADマウスのシナプス 消失を促進する





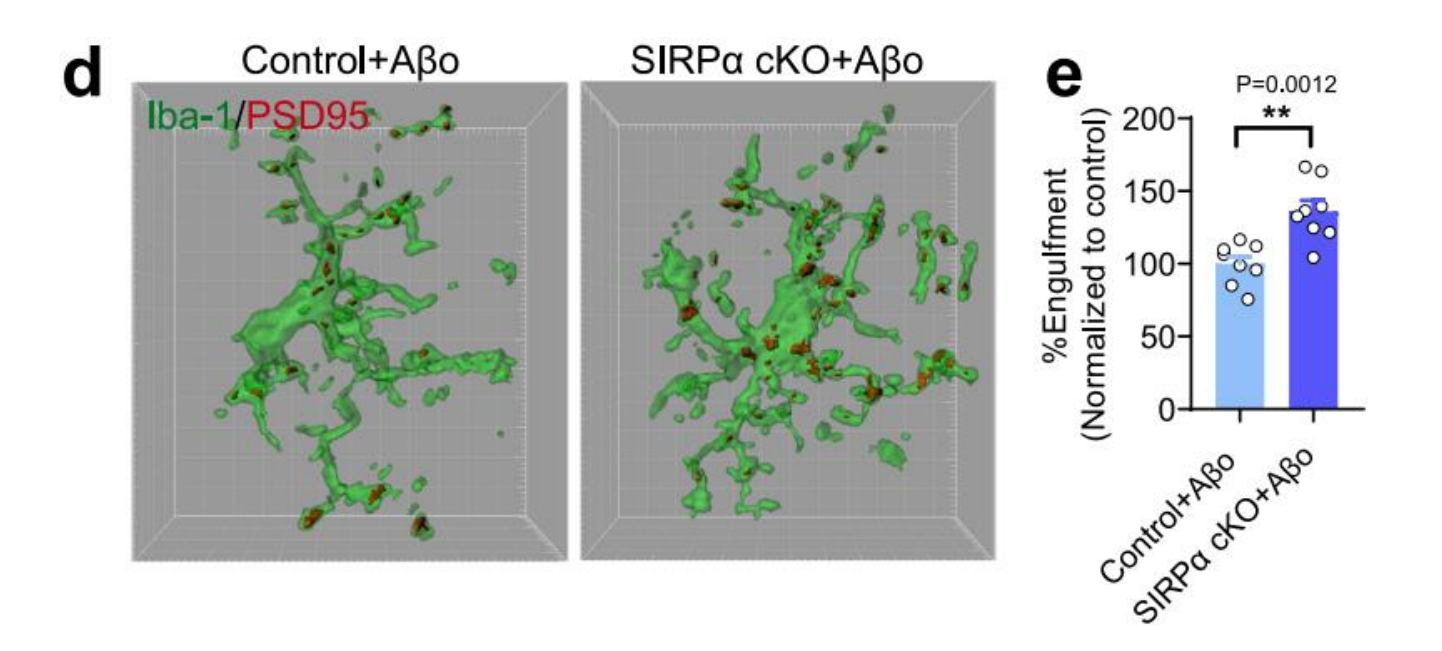
樹状突起先端棘のゴルジ染色



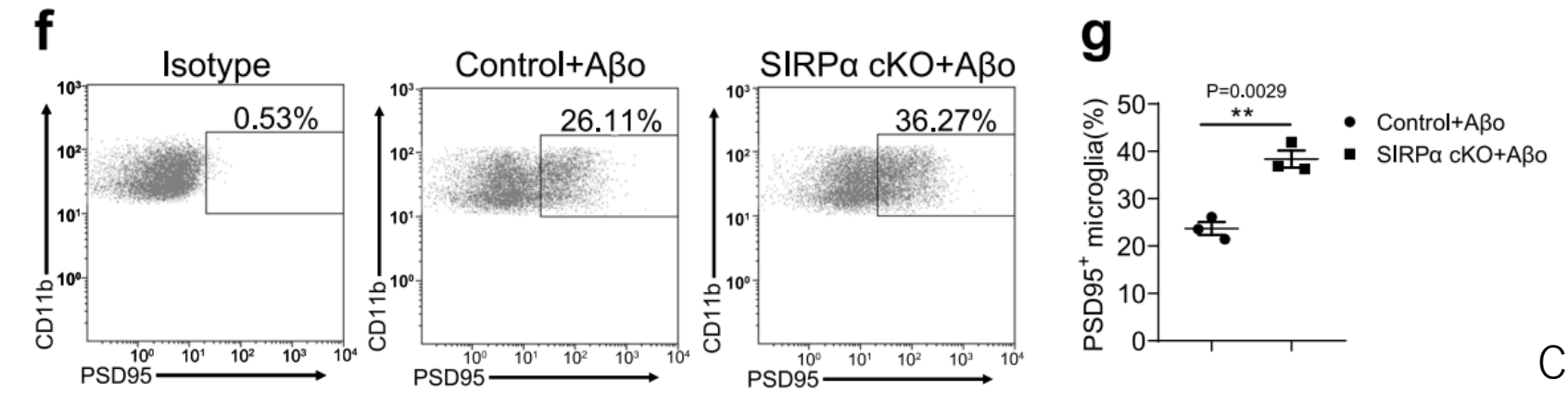


 $A\beta$ o注射後SIRP α -cKOマウスではシナプス数が減少した。

 $A\beta$ o刺激がない場合、 SIRP α - cKOマウスでもシナプス数は減少しなかった。



 $SIRP \alpha$ -cKOマウスのミクログリアはより多くのシナプスを貪食した



CD11b:ミクログリア